

# Curso Diseño de Puentes - AASHTO

Prof. Dr. Matías A. Valenzuela

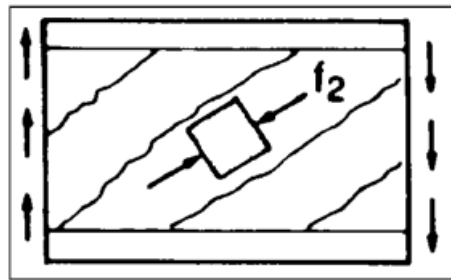
# Agradecimientos

- Dr. Rafael Foinquinos Mera
- Dr. Carlos G. Matos Flores-Guerra
- Dr. Sergio F. Breña
- Dr. Hernán Pinto Arancet

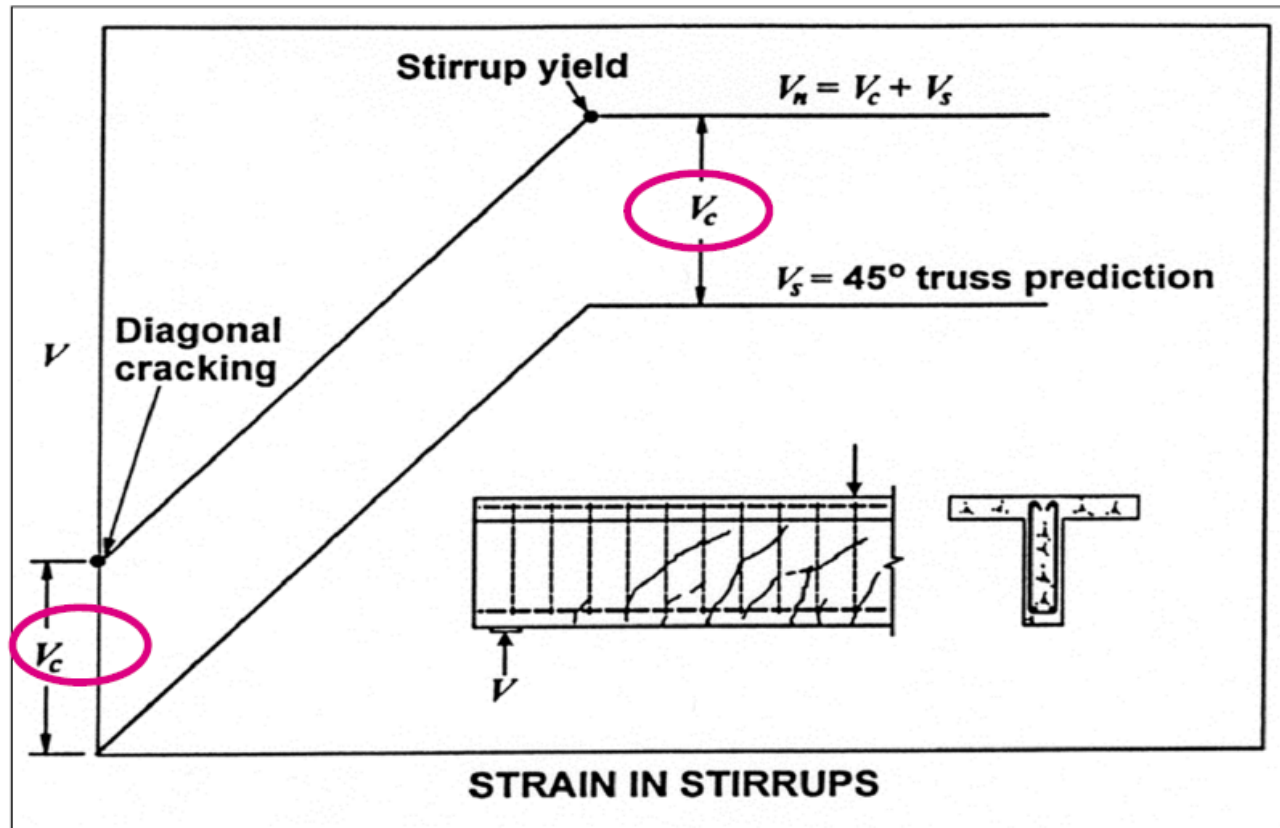
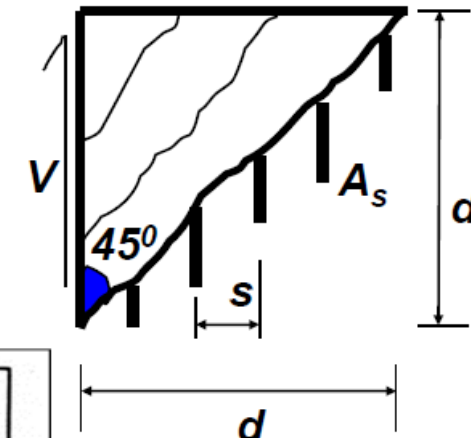
# Tópicos del Curso

- 1. Filosofía del Código LRFD
- 2. Cargas de Servicio en Subestructuras
- 3. Cargas Extremas en Puentes
- 4. Análisis Estructural Caso 1
- 5. Introducción al Concreto Estructural
- 6. Propiedades materiales Concreto Estructural
- **7. Diseño Flexión**
- **8. Diseño Corte**

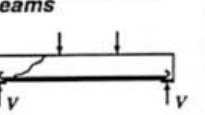
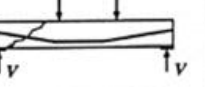
# Método Tradicional para el Diseño por Cortante



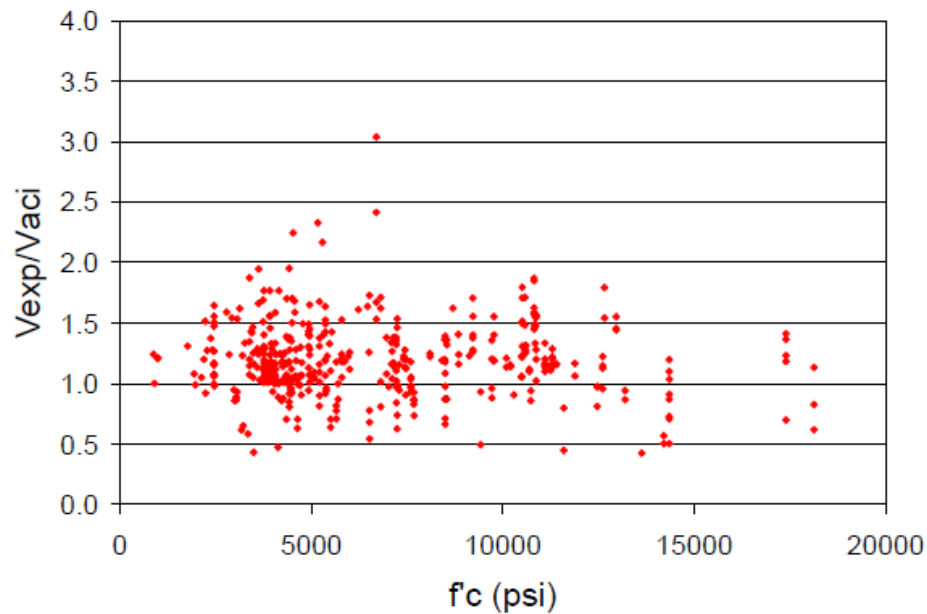
$$V_s = \frac{A_s f_y}{s} d$$



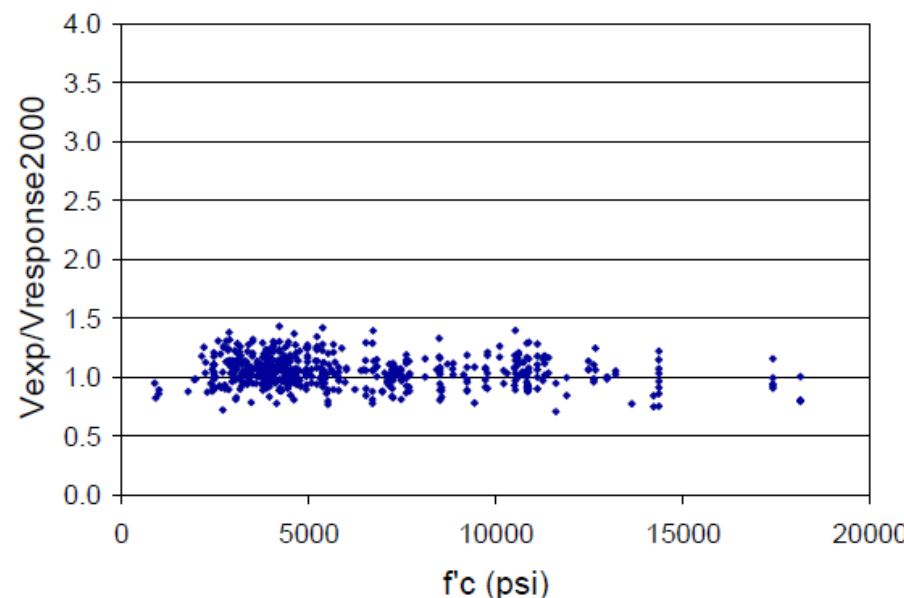
# Procedimiento Tradicional ACI/AASHTO

$V_n = V_c + V_t$	
<b>Non-Prestressed Beams</b> 	$V_c = \left( 1.9 \sqrt{f'_c} + 2500 \rho_w \frac{V_u d}{M_u} \right) b_w d \quad \text{but} \quad \frac{V_u d}{M_u} \leq 1.0$ $V_c \leq 3.5 \sqrt{f'_c} b_w d \quad \text{or} \quad V_c = 2 \sqrt{f'_c} b_w d$ $V_t = \frac{A_v f_y d}{s} \quad V_t \leq 8 \sqrt{f'_c} b_w d$
<b>Prestressed Beams</b> 	$V_c = \left( 0.6 \sqrt{f'_c} + 700 \frac{V_u d}{M_u} \right) b_w d \quad \text{but} \quad 2 \sqrt{f'_c} b_w d \leq V_c \leq 5 \sqrt{f'_c} b_w d$ <p>or <math>V_c = V_{ci} = 0.6 \sqrt{f'_c} b_w d + V_d + \frac{V_i M_{cr}}{M_{max}}</math> but <math>V_{ci} \geq 1.7 \sqrt{f'_c} b_w d</math></p> $V_t = \frac{A_v f_y d}{s} \leq 8 \sqrt{f'_c} b_w d$ $and \quad V_c \leq V_{cw} = \left( 3.5 \sqrt{f'_c} + 0.3 f_{pc} \right) b_w d + V_p$
<b>Axial Compression and Shear</b> 	$V_c = \left( 1.9 \sqrt{f'_c} + 2500 \rho_w \frac{V_u d}{M_u - N_u \frac{(4h-d)}{8}} \right) b_w d$ $V_c \leq 3.5 \sqrt{f'_c} b_w d \sqrt{1 + \frac{N_u}{500 A_g}}$ $V_t = \frac{A_v f_y d}{s} \leq 8 \sqrt{f'_c} b_w d$
<b>Axial Tension and Shear</b> 	$V_c = 2 \left( 1 + \frac{N_u}{500 A_g} \right) \sqrt{f'_c} b_w d$ $V_t = \frac{A_v f_y d}{s} \leq 8 \sqrt{f'_c} b_w d$
<b>Detailing Rules</b>	
<ul style="list-style-type: none"> <li>● Reinforcement shall extend beyond the point at which it is no longer required to resist flexure for a distance equal to the effective depth of the member or <math>12d_b</math>, which is greater,..</li> <li>● Flexural reinforcement shall not be terminated in a tension zone unless <ul style="list-style-type: none"> <li>● shear at cutoff <math>\leq 2/3</math> shear permitted, or</li> <li>● stirrup area, <math>A_s</math>, in excess of that required for shear and torsion, is provided ... ... <math>A_s \geq 60 b_w s f_y \dots s \leq d/8 \beta_b</math>, or</li> <li>● for #11 bars or smaller: shear at the cutoff <math>\leq 3/4</math> shear permitted and continuing reinforcement provides double the area required for flexure at the cutoff.</li> </ul> </li> <li>● At simple supports and points of inflection, the diameter of the positive moment tension reinforcement shall be limited so that  <math display="block">l_d \leq \frac{M_n}{V_u} + l_a</math> </li> </ul>	
ACI Shear Design Equations	

# *Validación de la TMCC (MCFT)*



*TMCC = Teoría  
modificada del campo  
de compresión*



## **Diseño por Cortante del AASHTO LRFD**

**LRFD 5.8.3.3**

$$V_n = V_c + V_s + V_p$$

$$V_n = 0.25 f'_c b_v d_v + V_p$$

**donde:**

**$V_c$  = contribución del concreto**

$$= 0.0316 \beta \sqrt{f'_c} b_v d_v \quad (f'_c \text{ in ksi})$$

$$\beta \sqrt{f'_c} b_v d_v \quad (f'_c \text{ in psi})$$

**$V_s$  = contribución de estribos (acero transversal)**

$$= \frac{A_v f_y}{s} d_v \cot \theta$$

**$V_p$  = componente vertical de la fuerza de presfuerzo**

# Determinación de $\beta$ and $\theta$

LRFD Apéndice B5

$$v = \frac{V_u - \phi V_p}{\phi b_v d_v}$$

$$0.5 \cot\theta = 1.0$$

$$\varepsilon_x = \frac{(M_u/d_v) + 0.5N_u + 0.5(V_u - V_p)\cot\theta - A_{ps}f_{po}}{2^*(E_s A_s + E_p A_{ps})}$$

$$\leq 0.001 \text{ ó } 0.002$$

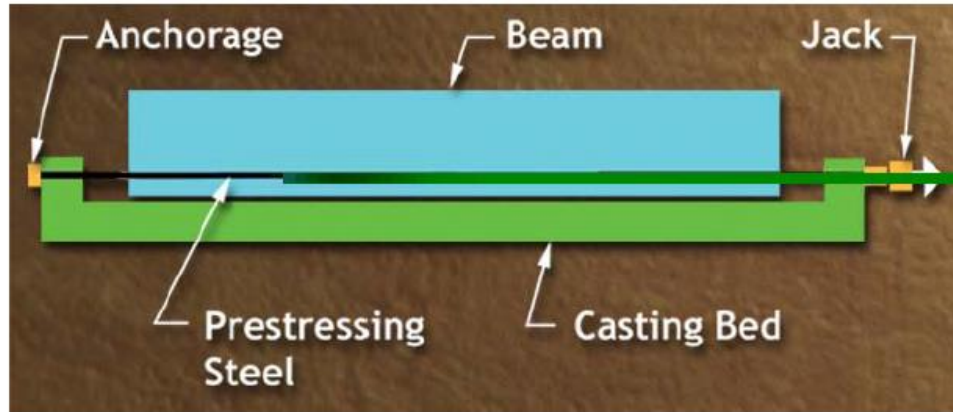
$\phi$  = factor de reducción de resistencia para cortante

$A_{ps}$  = área de acero de presfuerzo en el lado de tensión

$f_{po} = E_p$  multiplicado por la diferencia en deformación entre torones presforzados y el concreto que los rodea  $\approx 0.7f_{pu}$

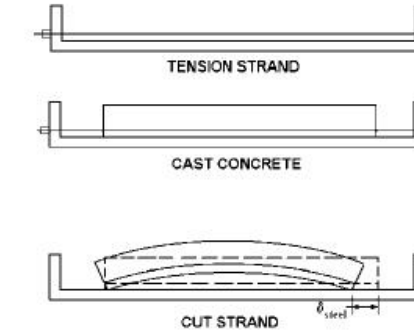
\* = 2; 1 si la viga contiene menos que el acero transversal mínimo

## Compatibilidad de Deformaciones



→  $\Delta\epsilon_p = \frac{f_{po}}{E_p}$ , previo a liberación

$\epsilon_{total} = \epsilon_c + \Delta\epsilon_p$ , después de liberación (torones).



$$\epsilon_c = \epsilon_{total} - \Delta\epsilon_p$$

→  $= \epsilon_{total} - \frac{f_{po}}{E_p}$

$$\epsilon_x = \frac{(M_u/d_v) + 0.5N_u + 0.5(V_u - V_p)\cot\theta - A_{ps}f_{po}}{(E_s A_s + E_p A_{ps})}$$

# Cálculo de $\varepsilon_x$ en Secciones con Acero Transversal Mínimo

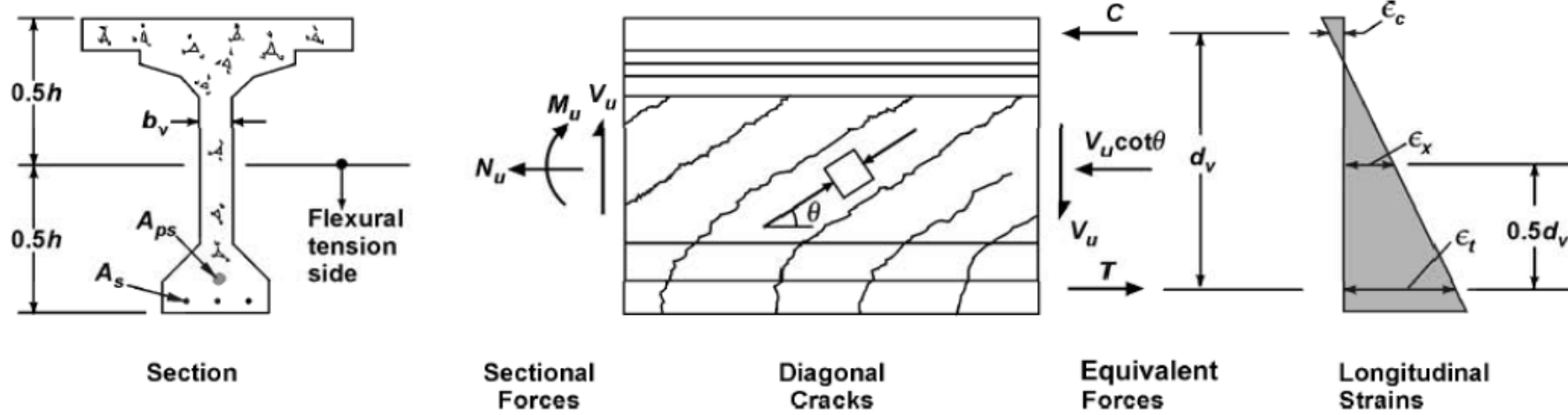


Diagrama para viga con torones rectos ( $V_p = 0$ )

## **Factor de Reducción cuando $\varepsilon_x$ es Negativo**

**LRFD 5.8.3.4.2**

$$F_e = \frac{E_s A_s + E_p A_{ps}}{E_c A_{ct} + E_s A_s + E_p A_{ps}}$$

**donde:**

**$A_{ct}$  = área de concreto en el lado de tensión de la viga**

**$A_s$  = área del acero de refuerzo (no presforzado) en el lado de tensión de la viga**

**Cuando  $\varepsilon_x$  es negativo, se debe usar este factor y retener el signo negativo de  $\varepsilon_x$ , no su valor absoluto.**

*LRFD Tabla 5.8.3.4.2-1*

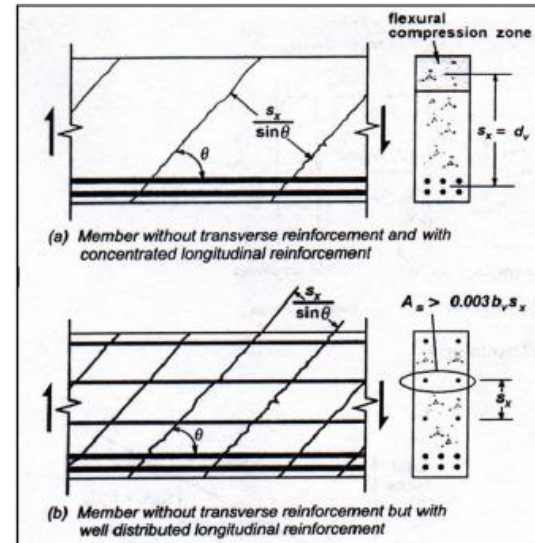
*Valores de  $\theta$  and  $\beta$*

*para secciones con refuerzo transversal*

$\frac{v_u}{f'_c}$	$\epsilon_x \times 1,000$								
	$\leq -0.20$	$\leq -0.10$	$\leq -0.05$	$\leq 0$	$\leq 0.125$	$\leq 0.25$	$\leq 0.50$	$\leq 0.75$	$\leq 1.00$
$\leq 0.075$	22.3 6.32	20.4 4.75	21.0 4.10	21.8 3.75	24.3 3.24	26.6 2.94	30.5 2.59	33.7 2.38	36.4 2.23
$\leq 0.100$	18.1 3.79	20.4 3.38	21.4 3.24	22.5 3.14	24.9 2.91	27.1 2.75	30.8 2.50	34.0 2.32	36.7 2.18
$\leq 0.125$	19.9 3.18	21.9 2.99	22.8 2.94	23.7 2.87	25.9 2.74	27.9 2.62	31.4 2.42	34.4 2.26	37.0 2.13
$\leq 0.150$	21.6 2.88	23.3 2.79	24.2 2.78	25.0 2.72	26.9 2.60	28.8 2.52	32.1 2.36	34.9 2.21	37.3 2.08
$\leq 0.175$	23.2 2.73	24.7 2.66	25.5 2.65	26.2 2.60	28.0 2.52	29.7 2.44	32.7 2.28	35.2 2.14	36.8 1.96
$\leq 0.200$	24.7 2.63	26.1 2.59	26.7 2.52	27.4 2.51	29.0 2.43	30.6 2.37	32.8 2.14	34.5 1.94	36.1 1.79
$\leq 0.225$	26.1 2.53	27.3 2.45	27.9 2.42	28.5 2.40	30.0 2.34	30.8 2.14	32.3 1.86	34.0 1.73	35.7 1.64
$\leq 0.250$	27.5 2.39	28.6 2.39	29.1 2.33	29.7 2.33	30.6 2.12	31.3 1.93	32.8 1.70	34.3 1.58	35.8 1.50

## AASHTO LRFD Tabla 5.8.3.4.2-2

$s_{x_0}$ (IN)	$\epsilon_x \times 1000$										
	$\leq -0.20$	$\leq -0.10$	$\leq -0.05$	$\leq 0$	$\leq 0.125$	$\leq 0.25$	$\leq 0.50$	$\leq 0.75$	$\leq 1.00$	$\leq 1.50$	
$\leq 5$	25.4 6.36	25.5 6.06	25.9 5.56	26.4 5.15	27.7 4.41	28.9 3.91	30.9 3.26	32.4 2.86	33.7 2.58	35.6 2.21	37.2 1.96
$\leq 10$	27.6 5.78	27.6 5.78	28.3 5.38	29.3 4.89	31.6 4.05	33.5 3.52	36.3 2.88	38.4 2.50	40.1 2.23	42.7 1.88	44.7 1.65
$\leq 15$	29.5 5.34	29.5 5.34	29.7 5.27	31.1 4.73	34.1 3.82	36.5 3.28	39.9 2.64	42.4 2.26	44.4 2.01	47.4 1.68	49.7 1.46
$\leq 20$	31.2 4.99	31.2 4.99	31.2 4.99	32.3 4.61	36.0 3.65	38.8 3.09	42.7 2.46	45.5 2.09	47.6 1.85	50.9 1.52	53.4 1.31
$\leq 30$	34.1 4.46	34.1 4.46	34.1 4.46	34.2 4.43	38.9 3.39	42.3 2.82	46.9 2.19	50.1 1.84	52.6 1.60	56.3 1.30	59.0 1.10
$\leq 40$	36.6 4.06	36.6 4.06	36.6 4.06	36.6 4.06	41.2 3.20	45.0 2.62	50.2 2.00	53.7 1.66	56.3 1.43	60.2 1.14	63.0 0.95
$\leq 60$	40.8 3.50	40.8 3.50	40.8 3.50	40.8 3.50	44.5 2.92	49.2 2.32	55.1 1.72	58.9 1.40	61.8 1.18	65.8 0.92	68.6 0.75
$\leq 80$	44.3 3.10	44.3 3.10	44.3 3.10	44.3 3.10	47.1 2.71	52.3 2.11	58.7 1.52	62.8 1.21	65.7 1.01	69.7 0.76	72.4 0.62



**Valores de  $\beta$  &  $\theta$  para secciones sin acero transversal**

## **Requerimiento de Acero Longitudinal Incluyendo Efecto de Cortante**

**LRFD 5.8.3.5**

$$A_s f_y + A_{ps} f_{ps} \geq \left[ \frac{M_u}{d_v \phi} + 0.5 \frac{N_u}{\phi} + \left( \frac{V_u}{\phi} - 0.5 V_s - V_p \right) \cot \theta \right]$$

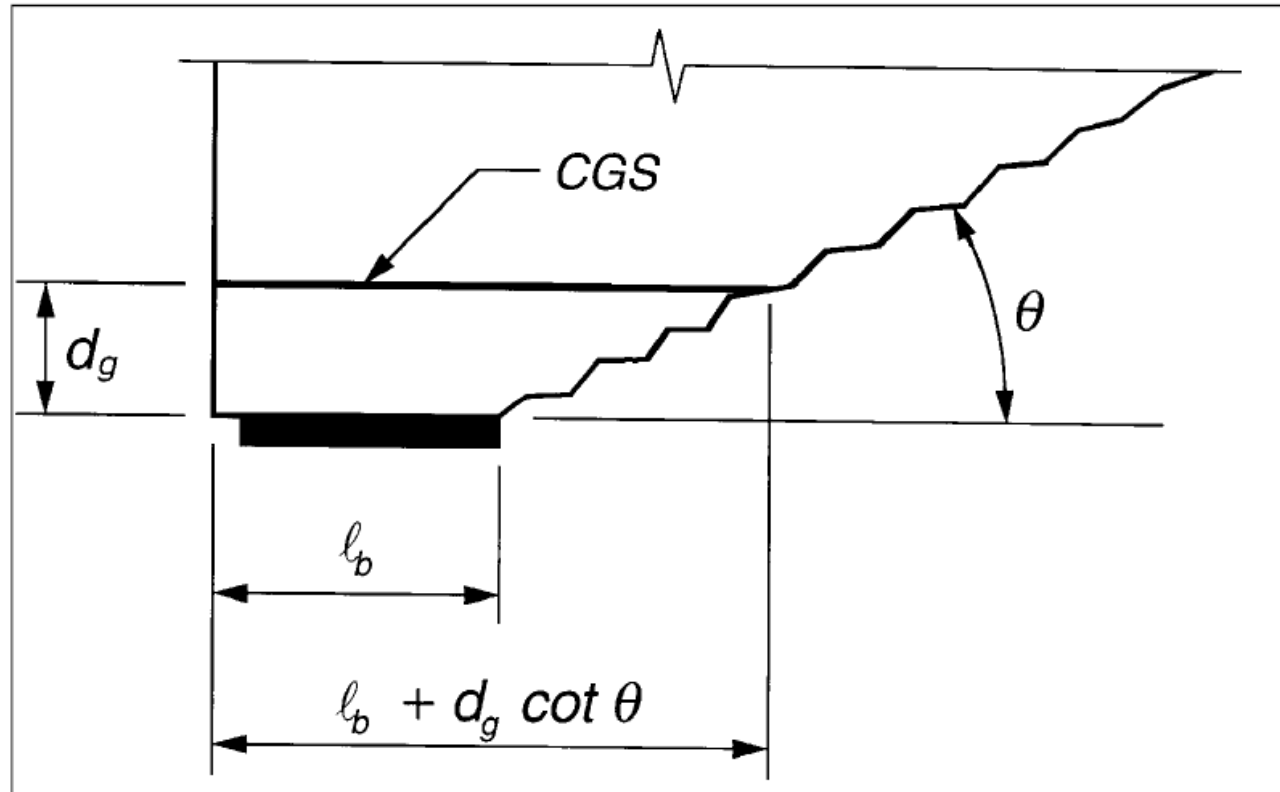
**donde:**

**$f_y$ ,  $f_{ps}$  = esfuerzos en el acero de refuerzo y presfuerzo,  
tomando en cuenta reducción por longitud de  
desarrollo**

**$V_s$  = Contribución del acero transversal al cortante**

$$V_s \leq V_u / \phi$$

## Sección Crítica para Acero Longitudinal (Presfuerzo)

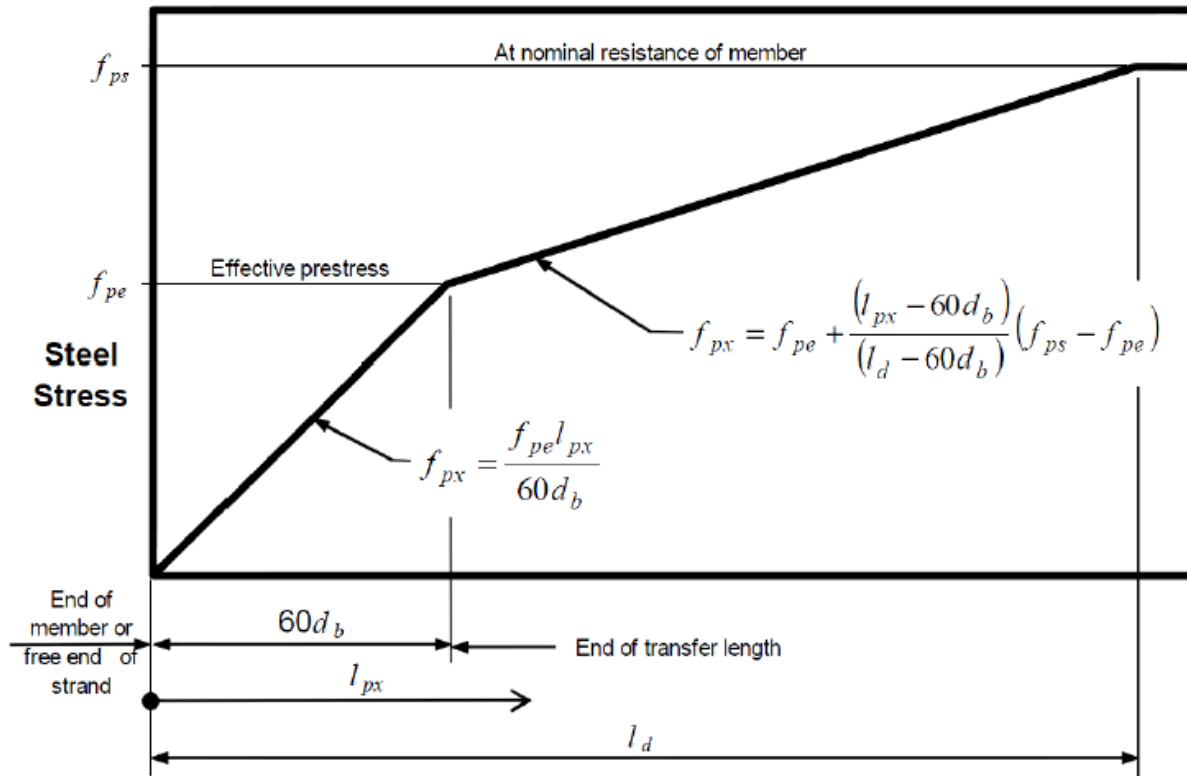


where:

$\theta$  = ángulo de inclinación de grietas por cortante

Comparar distancia  $(\ell_b + d_g \cot \theta)$  a  $\ell_t$  y  $\ell_d$ .

## Variación de Esfuerzos en Torones a lo Largo de la Longitud de Desarrollo (Extremos de Vigas Pretensadas)



$f_{pe}$  = esfuerzo efectivo en torones (después de pérdidas)

$f_{ps}$  = esfuerzo en torones al alcanzar la resistencia por flexión

$l_t$  = longitud de transferencia de presfuerzo

$l_d$  = longitud de desarrollo

# Método General para Determinar $\beta$ y $\theta$

## LRFD 5.8.3.4.2

- *Para secciones con al menos la cantidad mínima de acero transversal*
  - » *Tablas para determinar  $\beta$  and  $\theta$  son reemplazadas por ecuaciones*
  - » *Equación para  $\varepsilon_x$  se simplifica ( $0.5\cot\theta = 1.0$ )*
  - » *Límite de  $\varepsilon_x \geq -0.2 \times 10^{-3}$*
  - » *La revisión de la cantidad de acero longitudinal total debe efectuarse*

$$\beta = \frac{4.8}{(1 + 750\varepsilon_x)}$$

Secciones con al menos  
cantidad mínima de acero  
transversal

$$\beta = \frac{4.8}{(1 + 750\varepsilon_x)} \frac{51}{(39 + s_{xe})}$$

$$\theta = 29 + 3500\varepsilon_x$$

en donde,

$$s_{xe} = \frac{1.38s_x}{0.63 + a_g}, \text{ si } A_v < A_{v\min}$$

$$12 \text{ in} \leq s_{xe} \leq 80 \text{ in}$$

Secciones sin cantidad  
mínima de acero transversal

$a_g$  = tamaño máximo del  
agregado